

PRIENÓRÖVE ROZDELENIE NABITÝCH ČASŤÍ V SPRŠKACH KOZMICKÉHO ŽIARENIA

ĽEO HLAVAC*, Bratislava

Opisujeme zložky komplexnej apparatúry, pomocou ktorej sú urobili merania priestorového rozdelenia nabitých častíc v sprískach kozmického zázemia, účel jednotlivých zložiek, spôsob registrácie a výhodnocovania pomocou počítača. Osobitnú pozornosť venujeme problému takzvaných mladých spríšok. Zisťujeme podiel viacovcových spríšok na celkovom počte zaregistrovanych a porovnávame výsledky s meraniami iných autorov.

I. 640

Studiu priestorového rozdelenia nabitéch častic v širokých atmosférických spôsoboch kozmického žiarenia (dalej EAS = Extensive Air Shower) venuju dodnes pozornosť mnohí autori v teórii, ako aj v experimente. Dôvodom tohto neprestávajúceho záujmu je skutočnosť, že z údajov o priestorovom rozdelení v EAS možno bezprostredne určiť celkový počet častic v spôsobe, a tým aj odhadnut energiu primárnej častice, ktorá spôsobila spôsobu. Experimenty súčinné najmä tým, že poskytujú údaje o počte častic na rôznych úrovnach pozorovania, čím potvrdzujú alebo odvrhujú jednotlivé teórie a modely interakcií primárnych aj sekundárnych častic. My sme urobili merania pomocou komplexnej aparátury pre meranie EAS na stanici kozmického žiarenia na Čan-Šane (3340 m n. m.). Stanica patrí Akadémii vied ZSSR. Autor sa zúčastnil r. 1966 – 1968 budovania aparátu a r. 1968 aj meraní, najmä so S. I. Nikol'ským a jeho spolupracovníkmi [10], [20].

II. OPIS KOMPLEXNEJ APARATÚRY

Nazornú schému komplexnej aparátury predstavuje obr. 1. Podrobnejšie opis centrálnej časti, takzvanej „sachovnice scintilátorov“ a dvoch hodoskopovv

umiestnených medzi scintilačnými detektormi sme uviedli v článku o spektri EAS [1].
Vymenujme aspoň jednotlivé časti aparátúry (číslovanie je totožné s číslami na obr. 1):

1. Veľký ionizačný kalorimeter: pozostáva zo 14 radov ionizačných komôr, pričom vždy nasledujúci rad komôr je kolmý na predchádzajúci. Medzi radmi je 5 cm vŕstva olova. V každom rade je 96 ionizačných komôr s rozmermi 5,5 cm × 10 cm × 300 cm. Steny komôr sú z medeného plechu hruškovo 2,5 mm. Komory sú naplnené argónom s prímesou 5 % dusíka. Aktívna plocha kalorimetra je 36 m².

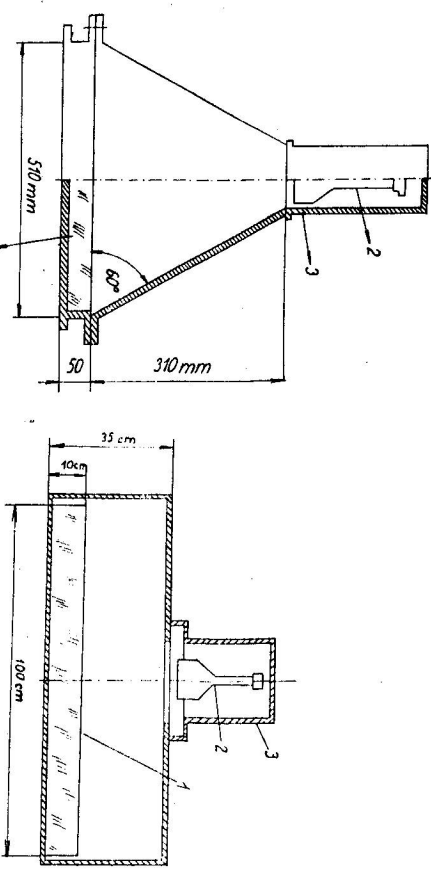
2. Vŕstva fotografických emulzíí: nachádza sa pod vrchným radom ionizačných komôr. Slúží na presnejšiu lokalizáciu častíc, pretože maximálnu rozlišujúcu schopnosť ionizačného kalorimetra určuje šírka komôr, čiže maximálne 10 cm. Rozlišujúca schopnosť emulzii je 50 mikrónov.

3. Malý ionizačný kalorimeter: nachádza sa presne pod veľkým kalorimetrom.

metrom, od ktorého je oddelený 11 m hrubou vrstvou pôdy, t. j. asi 20 m vodného ekvivalentu. Pozostáva z 15 vrstiev ionizačných komôr toho istého typu aj rozmerov ako veľký ionizačný kalorimeter, ale jeho účinná plocha je iba jedna štvrtina z plochy veľkého kalorimetra, 9 m^2 . Malý kalorimeter umožňuje podrobnejšie štúdium μ -mezónovej zložky EAS.

4. Šachovnica scintilátorov a riadiace scintilátory. Nad veľkým ionizačným usporiadaním po 8 do 8 radov. Rozmery scintilátorov sú $50 \text{ cm} \times 50 \text{ cm} \times 5 \text{ cm}$: nad každým scintilátorom je upevnený fotonásobič FEU-24. Geometrické usporiadanie vidieť z obr. 2.

Centrálné riadiace scintilačné detektory: majú rozmery $100 \text{ cm} \times 100 \text{ cm} \times 10 \text{ cm}$, slúžia na výber EAS podľa vopred zadaného kritéria pomera hustôt (obr. 3).



Obr. 2. Geometria scintilačných detektátorov „šachovnice“. 1 – scintilátor, 2 – fotonásobič FEU-45, 3 – kryt.

Obr. 3. Geometria riadiacich scintilačných detektátorov v centre a vo vzd. 20 m. 1 – scintilátor, 2 – fotonásobič FEU-45, 3 – kryt.

5. Scintilátory vo vzd. 20 m: ich geometria v kombinácii s fotonásobičom FEU-45 sa stotožňuje s centrálnymi scintilátormi. Jedno z možných kritérií výberu spŕšky (spustenia registrácie aparátu) je takzvaný „spŕškový master“, ktorý spúšta registráciu len v prípade centrálnej spŕšky, určenej kritériom:

$$1,5\varrho_{center} \geq \sum \varrho_{perif},$$

kde ϱ_{center} – hustota častic v centrálnom scintilátori, $\sum \varrho_{perif}$ – súčet hustôt v 4 periférnych scintilátoroch vo vzd. 20 m.

Okrém fotonásobiča FEU-45, ktorý je nad centrom scintilátora, sú nad všetkými štyrimi periférnymi scintilátormi po 4 fotonásobiče FEU-36 s nasekundovou rozlišovacou schopnosťou. Týchto 16 fotonásobičov tvoria základnú časť chronotrónu. Z presného namerania oneskorenia, s akým dosiahne čelná stena spŕšky protipoložené, 40 m od seba vzdialé, scintilačné detektory, vypočítame sklon osi jednotlivých EAS.

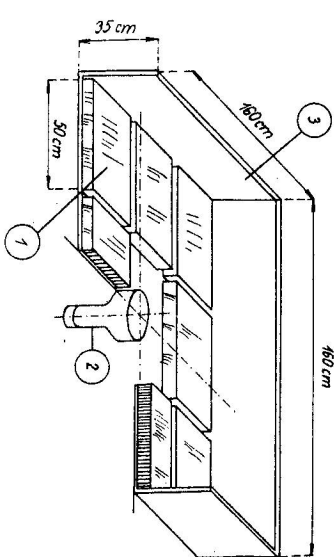
6. Malý hodoskop: pozostáva z 96 GM-počítačov, rozložených v jednom rohu šachovnice, zapojených do spoločnej registrácie systémom GK-7.

7. Veľký hodoskop: 144 GM-počítačov typu SI-5G, rozložených v centre šachovnice.

Oba hodoskopy slúžia najmä na kalibráciu scintilačných počítačov, medzi ktorými sú umiestnené.

8. Čerenkovské detektory: vďaka prieračnosti atmosféry pre viditeľné svetlo, intenzita čerenkovského žiarenia charakterizuje stupeň rozvoja spŕšky. Uhol 47° pri niektorých detektordoch sme zvolili preto, že spŕška, ktorá príde na úroveň Tatranskej stanice pod tým uhlom, prejde v atmosféri takým množstvom hmoty ako kolmá spŕška po úroveň mora.

9. Scintilátory vo vzd. 70 m. Inú geometriu než centrále majú scintilačné detektory vo vzd. 70 m (obr. 4). Detektory sú 10, každý pozostáva z 8 scintilátorov o rozmeroch $50 \text{ cm} \times 50 \text{ cm} \times 5 \text{ cm}$, uložených na dne puzdra s rozmermi $160 \text{ cm} \times 160 \text{ cm} \times 35 \text{ cm}$. Puzdro je vnútri natreté bielou farbou s koeficientom odrazu 0,9. V centre puzdra je umiestnený fotonásobič FEU-45 tak, že jeho fotokatoda „hladi“ nahor, aby na ňu nedopadali priamo lúče od scinti-



Obr. 4. Geometria scintilačných detektátorov vo vzd. 70 m. 1 – 8 scintilátorov, 2 – fotonásobič FEU-45, 3 – kovový kryt scintilátorov a fotonásobiča.

látorov, ale len rovnomerne rozptýlené svetlo od stien puzdra. Takýmto usporiadanim závisí amplitúda signálu na výstupe fotonásobiča len nepatrne od miesta, ktorým na scintilátor prešla časťica. Vzdialenosť 70 m od centra apparatúry volíme preto, že pri centrálnych spíškach v tejto vzdialosti prakticky závisí hustota častic len od ich celkového počtu v EAS a nie od veličiny S , „veku“ spíšky. Táto okolnosť nám umožňuje veľmi jednoducho a dostačočne spoľahlivo určiť celkový počet častic N v spíškach s $N > 10^5$ na úrovni pozorovania.

10. Hodoskop vo vzd. 70 m: slúži podobne ako centrálne hodoskopy najmä na kalibráciu scintilátorov.

11. Mezónový hodoskop v tuneli: v svahu, na ktorom je vysokohorské sedlo so stanicou, je otvor, ktorým vyúsťuje vodorovný tunel, spájajúci podzemný priestor malého kalorimetra s povrchom. V tuneli je rozložený mezónový hodoskop s 1000 GM-počítačmi, ktorý slúži na štúdium priestorového rozloženia μ -mesónov v EAS.

12. Neutrónový monitor: približne vo vzd. 40 m od centra je umiestnený neutrónový supermonitor s cieľkovou efektívnu plochou 18 m². Pozostáva z 18 počítačov, uložených v polyetylénových blokoch, odstienených priestoreviacím obalom Pb. Účelom je komplexné zachytenie aj jaderno-aktívnych častic malej energie v EAS.

13. Zložka apparatúry vo vzd. 180 m od centra: obsahuje sointilačné a čerenkovské detektory. Slúži najmä na štúdium priestorového rozdelenia častic a na určenie celkového počtu častic v spíškach rôznej intenzity. Podotýkame, že meraná, ktorých výsledky v referáte podávame, sú urobené bez zložky aparátury vo vzd. 180 m.

III. SPÔSOB REGISTRÁCIE

Na spustenie apparatúry na registráciu sme použili niekolko druhov master-pulzov, a to podľa dvoch principiálne odlišných kritérií. Prvým kritériom bolo prekročenie počtu častic v určitej skupine detektorov, druhé kritérium pozostávalo vo výbere centrálnych spíšok, ktoré totiž spĺňali vopred určený gradient úbytku od centra apparatúry. Pri meranach priestorového rozdelenia častic v EAS sme získávali údaje najmä pomocou posledného druhu masterpulzov. Údaje o jednotlivých spíškach sa zo všetkých častí apparatúry postupne zaznamenáli na magnetickú pásku tak, že každému detektoru zodpovedá určité miesto na magnetickej páske. Veľkosť pulzov od fotonásobičov a od ionizačných komôr oboch kalorimetrov, transformované na číslo, zapísali sa v binárnom kóde tak, že ich spracovanie na malom samočinnom počítači „NAIRI“ bolo veľmi pohodlné. Výstup počítača sme si naprogramovali tak, že sme dostali

hustoty v mieste každého detektora v geometrii, čím bližej k skutočnému priestorovému rozloženiu detektorov. Každú spíšku sme zaznačili graficky a taktiež sme hodnoty jednotlivých detektorov, rovnako vzdialených od osi EAS, zaznačili do tabuľky. Príom sme rozdeľovali spíšky podľa výšky ich vzniku, ako aj stupňa rozvoja S , ktorý sme určovali podľa gradientu úbytku hustoty častic v jednotlivých spíškach. Na tento účel sme si prepočítali funkciu priestorového rozdelenia, ako ju uvádzajú Nishimura a Kamata [2] pre vzdialenosť 6 m a 20 m od centra apparatúry. Dostali sme pomery uvedené v tab. 1.

Tabuľka 1

S	$\varrho_{\text{fm}}/(\text{g/cm}^3)$
0,6	6,9
0,8	6,0
1,0	4,8
1,2	4,0
1,4	3,3
1,6	2,7

Každú spíšku sme porovnali s tab. 1, čím sme dostali skupiny rovnako stárych spíšok. Konečné triedenie do skupín, zodpovedajúcich jednotlivým krivkám na výslednom grafie, sme robili podľa mohutnosti spíšky.

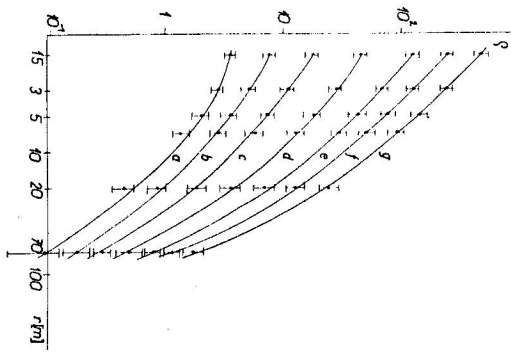
IV. VÝSLEDKY MERANÍ

Celkovo sme zaregistrovali vyše 10 000 spíšok. Na základe nameraných hodnôt môžeme podať dosťatočne detailný priebeh priestorového rozdelenia nabitých častic, najmä v intervale $2 \times 10^3 < N < 2 \times 10^5$, aj keď značný počet nameraných EAS bol mimo tohto intervalu. Úhradné výsledky z intervalu $2 \times 10^3 < N < 2 \times 10^5$ sú vyjadrené na obr. 5. Priestorové rozdelenie na obr. 5 zodpovedá strednej hodnote rozvodia spíšok $S = 1, 2$, čo je v zhode s teoretickými výsledkami pre nadmorskú výšku Ťan-Šanskéj stanice [2, 3]. Podobné experimentálne hodnoty priestorového rozdelenia dostali mnogí autori. Spomienme aspoň niektoré merania urobené tiež na úrovni hôr, napr. Cocconi, 3260 m [4], Zacepin, 3860 m [5], Kasnitz, 3260 m [6], Williams, 3050 m [7], Hazen, 3260 m [8] a mnoho ďalších. Časť uvedených meraní bola urobená pomocou GM-počítačov, časť ionizačnými komorami, komplexnosťou sa však žiadna z nich nedá porovnať s Ťan-Šanskou aparatírou.

Tabuľka 2

Obr. 5. Priestorové rozdelenie hustoty častic (počet častic/m²) v EAS. Parameetrom kriviek je celkový počet častic N.

- a) $N = 2,4 \times 10^3$, b) $N = 3,8 \times 10^3$,
 c) $N = 7,5 \times 10^3$, d) $N = 1,6 \times 10^4$,
 e) $N = 3,8 \times 10^4$, f) $N = 6,8 \times 10^4$,
 g) $N = 1,6 \times 10^5$.



i. Namerané „mladé“ spŕšky

Uviedli sme, že teoretické výpočty i väčšina experimentálnych výsledkov potvrdzujú pre nadmorskú výšku Tien-Šanu strednú hodnotu $S = 1,2$. Na základe prepočtov, ktoré sme urobili podľa Nashimuru pre jednotlivé porovnávacie body našej aparátury, mali by byť hodnoty pomerov hustôt častic v rôznych vzdialenosťach od centra EAS pri centrálnych spŕškach:

$$\bar{\rho}_s : \rho_{20} = 13,$$

$$\bar{\rho}_s : \rho_{70} = 80,$$

$$\rho_{20} : \rho_{70} = 6$$

kde $\bar{\rho}_s$ — stredná hustota častic v „šachovnici“ scintilátorov, ρ_{20} — stredná hustota častic vo vzd. 20 m od centra, ρ_{70} — stredná hustota častic vo vzd. 70 m od centra.

Ked je pomer hustôt, čiže gradient úbytku, podstatne vyšší, to znamená, že spŕška nevznikla v blízkosti hranice atmosféry, ale bližšie k aparátu. Také spŕšky voláme „mladými“. Pri našich meraniach sme zaregistrovali značný počet „mladých“ spŕšok, pričom niektoré mimoriadnej mohutnosti. Abi sme názorne videli registráciu priestorového rozdelenia a zároveň fluktuačiu v priestorovom rozdenení, uvedme aspon časť záznamu o jednej „mladej“ spŕške, ako sme ju dostali z počítača (tab. 2).

N	MAGN	P	10 ³								
N EAS			424	2301	8926	5921	V	3249	1321	V	—
2407			2407	2301	8926	5921	V	2940	1970	—	3871
V				7406	11672	10624	1756	V	4386	1970	8896
2281				35821	V	53438	24938	7232	3371	—	18381
3591				5921	17788	323286	17788	7044	5446	3260	48030
11923				20183	107612	V	3591	V	3591	25027	3902
2387				3917	3591	7826	3034	3249	2361	—	26359
1460				2407	3591	2660	3457	2934	3594	1195	1830
2178				1942	1675	1970	2407	1734	1752	1978	—
2556			365	9071	9551	63638	12330	4038	3282	2301	—
365						219696	219696	164	—	—	—
70 M			3,3		2,2	6,0	1,8	3,3	3,3	1,6	1,6
V HOD			237								—
M HOD			118								—
HOD 70 M			4,3								—

Miesta označené V znamenajú nespolahlivý, a preto automaticky vyniechaný údaj detektora. Za týmito údajmi nasledovali priemery hodnôt scintilátorov „šachovnice“, ďalej 16 centrálnych scintilátorov v strede „šachovnice“, potom údaje všetkých ionizačných komôr veľkého a malého kalorimetra a ostatných častí aparátury. Pre štúdium priestorového rozdelenia častic je najzaujímavejšia časť záznamu, ktorú sme uviedli. Všetky hodnoty záznamu udávajú hustotu v dotyčnom detektore už prepočítanú na 1 m². Vpravo od horizontálnych radov sú priemery za jednotlivé rady, pod vertikálnymi radmi sú uvedené priemery pre dotyčný rad. Hodnoty 365, 365, 201, 164 patria scintilátorom vo vzd. 20 m v tom usporiadani, ako sú na zázname. Obe hodnoty 219696 patria centrálnym riadiacim scintilátorom. Ďalej zo záznamu vidieť, že nasledujú hustoty scintilátorov vo vzd. 70 m, ďalej veľkého hodoskopu, malého hodoskopu a hodoskopu vo vzd. 70 m.

Uvedený prípad spŕšky je príklad nezvykle „mladej“ spŕšky, ktoréj gradient priestorového úbytku hustoty je rádovo strmší než pri teoretickom $S = 1,2$, ktorého hodnoty sme uviedli na začiatku tohto odstavca.

Hodnoty pomerov nameraných hustôt sú:

$$\bar{\rho}_s : \rho_{20} = 52; \quad \bar{\rho}_s : \rho_{70} = 3140; \quad \rho_{20} : \rho_{70} = 60.$$

Uvedené hodnoty, ako aj paralelé výsledky z merania veľkým ionizačným kalorimetrom a fotografickými emulziami dokazujú, že uvedená spŕška je jednou z tých zriedkavých, ktoré vzniknú len niekoľko km nad aparátu. oneskorenou interakciou prvotného protóna vysokej energie, ako sa o nich zmieňuje aj Nikolskij [9] a nás referát v Taškente [10]. Z vyhodnotených spŕšok mali ešte dve podobný priebeh priestorového rozdelenia i mohutnosti.

2. Viacosové spršky

Vzhľadom na existenciu, vznik a počet viacosových spršiek sa mienky rôznych autorov rozchádzajú. Do päťdesiatych rokov sa vyskytujú experimentálne údaje, ktoré o viacosových sprškach svedčia veľmi zriedkavo a nie dosť pre-svedčivo. Možno to vysvetliť najmä nedostatočnosťou použitej apparatúry.

Aj keď Davis (1951) [11], Hasen (1953) [12] a Heineman (1954) [13] uverejnili svoje výsledky, svedčace o niekoľkých osiach v jednotlivých spŕškach, bola tendencia vysvetliť ich fluktuaciami v Poissonovom rozdele-ní [14]. Zdokonalovaním apparatúr sa merania stávajú presvedčivejšie, aj keď nie jednoznačne. Merania pomocou hodoskopov z GM počítáčov a merania ionizovými komorami dávajú výsledky nižie než merania pomocou ionizačných komôr a scintilátorov. Napr. kym Tanake nameral približne 2 % viacoso-vých spršok s celkovým počtom častíc $N > 10^5$ [15], Dovženko pomocou ionizačných komôr na Pamre už pre $N \leq 10^5$ nameral okolo 20 % mnaho-oso-vých [16], Gorjuno v pre $N > 10^5$ skoro 30 % viacosových [17], Bray referuje na konferencii v Jaipure dokonca o 50 % viacosových EAS pri $N > 10^5$ [18]. Merania McCusker svedčia o tom, že podiel viacosových EAS prudko stúpa so vzrastom spršky a je pre interval $10^5 < N < 10^6$ asi 30%, kym pre $N > 10^6$ uvádzajú až 90% viacosových [17]. Podla McCusker jednoosové spršky pochádzajú od jedného primárneho protóna, dvojosové od primárnych deuterónov, viacosové od jadier prvkov od hélia až po jadro železa.

Naše merania dávajú výsledky podstatne nižie než posledne uvedených autorov. Ako sme už referovali [20], z prvých výhodnotených EAS bolo viac-oso-vých asi 17 %, po vylúčení sporných prípadov, ktoré mohli byť výsled-kom aparátúrneho charakteru, zostalo asi 14 % viacosových spršok. Ďalsše výhodnotenia nepriniesli podstatnú zmenu v podiele viacosových spršok, iba zväčšili štatistiku, najmä v intervale s $N > 10^5$.

Ako kritérium viacosovej spršky sme volili:

$$\varrho_n \geq \frac{1}{2} \varrho_1 \text{ a } \text{zároveň } \varrho_{min} \leq \frac{\varrho_1 + \varrho_n}{4},$$

kde ϱ_1 – hustota v detektore, cez ktorý prechádza hlavná os, ϱ_n – hustoty v detektoroch s ďalšími osami, ϱ_{min} – minimálna hustota medzi dvoma osami.

Z 1044 EAS bolo $86 \text{ s } N > 10^5$ a $958 \text{ s } N < 10^5$. V intervale $N > 10^5$ sme pritom identifikovali len 9 EAS viacosových, čo je približne 10 % a v intervale $N < 10^5$ spŕšalo jednoznačne kritérium pre viacieju osť [20] len 88 spršok, čo je 9 % z celkového počtu v tomto intervalu. Sme si vedomí, že pri sprškach s veľkými fluktuáciami v priestorovom rozde-lelení je problematické aplikovať nejaké kritérium pre identifikáciu viacosovej

spršky, najmä keď nie je všeobecne prijatá matematicky presná formulácia takéhoto kritéria. Určitou svojvôľou v aplikácii rôznych kritérií možno vy-svetliť rôznosť výsledkov spomínaných autorov.

V. ZÁVER

Uvedli sme výsledky meraní priestorového rozdelenia hustoty nabitých častic v sprškach kozmického žiarenia, zaregistrovaných komplexnou apara-túrou na úrovni hór. Namenané hodnoty sú potvrdením a zároveň znamenajú spresnenie experimentálnych údajov iných autorov, najmä v intervale $2 \times 10^3 < N < 2 \times 10^5$.

Hoci pre priemerné rozvinutie spršok sme namerali hodnotu $S = 1,2$, ktorá zodpovedá teoretickej hodnote pre výšku Čiščanskéj stanice, zare-gistrovali sme niekoľko veľmi „mladej“ spršok. Uvedli sme konkrétny záznam jednej typickej „mladej“ spršky, sprostredkovaný už pomocou počítača.

Výhodnotené spršky sme skúmali aj z hľadiska problému viacosových spršok. Naše merania svedčia o tom, že výskyt viacosových spršok neprevyšuje 10 %

LITERATÚRA

- [1] Hlaváč T., Fyz. čas. SAV 20 (1970), 61.
- [2] Беленкий С. З., *Лауринные процессы в космических лучах*. Гостехиздат, Москва 1948.
- [3] Kamata K., Nishimura J., J. Progress Theor. Phys., Suppl. 6 (1958), 93.
- [4] Cocconi G., Tongiorgi V., Greisen K., Phys. Rev. 76 (1949), 1029.
- [5] Запелин Г. И. др., Изв. Ак. Нарк CCCP, серия физ., 17 (1953), 39.
- [6] Kasimir H., Siitte K., Phys. Rev. 94 (1954), 977.
- [7] Williams R. W., Phys. Rev. 74 (1948), 1689.
- [8] Hasen W. E., Williams R. W., Bandal C. A., Phys. Rev. 93 (1954), 578.
- [9] Никольский С. И., Изв. Ак. Наук СССР, Серия физ., 33 (1969), 1506.
- [10] Глазач Т., Нам Р., Никольский С. И., Чердынцева Н. В., Труды космической конференции по космическим лучам, Ташкент 1968.
- [11] Davis L., Greenstein J. L., Astrophys. Journal 114 (1951), 206.
- [12] Hasen W. E., Heineman R. E., Phys. Rev. 90 (1953), 496.
- [13] Heineman R. E., Phys. Rev. 96 (1954), 161.
- [14] Greisen K., *Extensive Air Showers*, in: *Progress in Cosmic Ray Physics*, Vol. 3. Edited by J. G. Wilson, Amsterdam 1956.
- [15] Tanaka Y., Phys. Soc. Japan 16 (1961), 3.
- [16] Довженко О. И., Дисергация. Моск. Гос. Университет 1962.
- [17] Горюнов Н. Н., Диссертация. Моск. Гос. Университет 1962.
- [18] Bray A. D., et al. Proc. Conf. Cosm. Ray, Jaipur, 4 (1963), 35.
- [19] McCusker, Winn M. M., Wand R. H., et al., *The Strongly Interacting Particles*

in Air Showers, Cores, Preprint, University of Sydney, 1962.

- [20] Аминева Т. И., Асейкин В. С., Главач Т. и др., Изд. Акад. Наук СССР, серия физ., 33 (1969), 1514.
Дошло 11. 8. 1970

SPACE DISTRIBUTION OF CHARGED PARTICLES IN COSMIC RAY EXTENSIVE AIR SHOWERS

Teo Hlaváč

Summary

We have presented results of measuring of space distribution of charged Particles in Cosmic Ray Extensive Air Showers, as registered by a complex equipment at mountain level. Values that have been arrived at conform with and give more precision to experimental data by other authors, particularly in the range of $2 \times 10^3 < N < 2 \times 10^5$. Although for the average age of showers the value $S = 1.2$ has been measured, which corresponds to the theoretical value for the altitude of the Tien-Shan Station, several very „young“ showers have been registered. We have presented a concrete record of a typically young shower, achieved by means of a computer.

The evaluated showers have been studied also from the standpoint of the problem of multiaxial showers. Our measurements prove that the occurrence of multiaxial showers does not exceed 10 %.